LOGO:



TITOLO PROGETTO:

SISTEMA IDRICO DEL MENTA

DESCRIZIONE PROGETTO:

LAVORI DI COMPLETAMENTO DELLO SCHEMA IDRICO SULLA DIGA DEL TORRENTE MENTA: OPERE DI BY-PASS DEL TRATTO TERMINALE DELLA CONDOTTA FORZATA PER L'AVVIO DELL'ADDUZIONE IDROPOTABILE

EMISSIONE	-	GEOM. R. ROTUNDO	ING. D. COSTANTINO	ING. D. COSTANTINO	0	16/02/2017
MOTIVO	FASE P.D.P.	ELABORATO	VERIFICATO	APPROVATO	REV.	DATA

FASE:

PROGETTO DEFINITIVO - ESECUTIVO

APPROVAZIONI:

GRUPPO DI PROGETTAZIONE:

Dott. Ing. Domenico COSTANTINO

SIA - Studio Ingegneri Associati: Dott. Ing. Luigi DE BONI Dott. Ing. Giancarlo MADONI Dott. Ing. Poul Erik NIELSEN RESPONSABILE UNICO DEL PROCEDIMENTO:

Dott. Ing. Giuseppe SORRENTINO

RESPONSABILE SERVIZI INGEGNERIA:

Dott. Ing. Antonio VOCI

UNITA' DI PROGETTAZIONE SORICAL:

Dott. Ing. Luca VITALE Dott. Ing. Giuseppe VIGGIANI

IMPRESA:

CONSORZIO CONPAT S.C.A.R.L.



L'IMPRESA DESIGNATA



TIPO DOCUMENTO:

RELAZIONE TECNICA CALCOLO STRUTTURA

ELEMENTO/ITEM:

PISTA DI SERVIZIO CONDOTTA

- 11 A4 -	PROGETTO/COMMESSA A.02.4.C		origine/unuta' sistema SOP CST		B13 - 10.07		
				- SISTEMA	PROGRES:	SIVO	

FONTICARTOGRAFICHE: REGIONE CALABRIA - CENTRO CARTOGRAFICO / I.G.M. - ISTITUTO GEOGRAFICO MILITARE
IL PRESENTE DISEGNO E' DI PROPRIETA' DI SO.RI.CAL. S.P.A. - A TERMINE DI LEGGE OGNI DIRITTO E' RISERVATO

PISTA DI SERVIZIO CONDOTTA MURO DI SOSTEGNO INIZIO PISTA RELAZIONE TECNICA CALCOLO STRUTTURA

RELAZIONE DI CALCOLO

Normativa di riferimento

NTC2008 - Norme tecniche per le costruzioni - D.M. 14 Gennaio 2008.

CIRCOLARE 2 febbraio 2009, n. 617 - Istruzioni per l'applicazione delle 'Nuove norme tecniche per le costruzioni' di cui al decreto ministeriale 14 gennaio 2008. (GU n. 47 del 26-2-2009 - Suppl. Ordinario n.27).

Calcolo della spinta attiva con Coulomb

Il calcolo della spinta attiva con il metodo di *Coulomb* è basato sullo studio dell'equilibrio limite globale del sistema formato dal muro e dal prisma di terreno omogeneo retrostante l'opera e coinvolto nella rottura nell'ipotesi di parete ruvida. Per terreno omogeneo ed asciutto il diagramma delle pressioni si presenta lineare con distribuzione:

$$P_t = K_a \times \gamma_t \times z$$

La spinta St è applicata ad 1/3 H di valore

$$S_t = \frac{1}{2} \gamma_t H^2 K_a$$

Avendo indicato con:

$$K_a = \frac{sen^2(\beta - \phi)}{sen^2\beta \times sen(\beta + \delta) \times \left[1 + \sqrt{\frac{sin(\delta + \phi) \times sin(\phi - \epsilon)}{sen(\beta + \delta) \times sen(\beta - \epsilon)}}\right]^2}$$

Valori limite di KA:

$$\delta < (\beta - \phi - \epsilon)$$
 secondo Muller-Breslau

- γ_t Peso unità di volume del terreno;
- β Inclinazione della parete interna rispetto al piano orizzontale passante per il piede;
- Angolo di resistenza al taglio del terreno;
- δ Angolo di attrito terra-muro;
- ε Inclinazione del piano campagna rispetto al piano orizzontale, positiva se antioraria;
- H Altezza della parete.

Calcolo della spinta attiva con Rankine

Se $\varepsilon = \delta = 0$ e $\beta = 90^{\circ}$ (muro con parete verticale liscia e terrapieno con superficie orizzontale) la spinta *St* si semplifica nella forma:

$$S_{t} = \frac{\gamma \cdot H^{2}}{2} \frac{(1 - \sin \phi)}{(1 + \sin \phi)} = \frac{\gamma \cdot H^{2}}{2} \tan^{2} \left(45 - \frac{\phi}{2}\right)$$

che coincide con l'equazione di Rankine per il calcolo della spinta attiva del terreno con terrapieno orizzontale.

In effetti Rankine adottò essenzialmente le stesse ipotesi fatte da Coulomb, ad eccezione del fatto che trascurò l'attrito terramuro e la presenza di coesione. Nella sua formulazione generale l'espressione di Ka di Rankine si presenta come segue:

$$Ka = \cos \varepsilon \frac{\cos \varepsilon - \sqrt{\cos^2 \varepsilon - \cos^2 \phi}}{\cos \varepsilon + \sqrt{\cos^2 \varepsilon - \cos^2 \phi}}$$

Calcolo della spinta attiva con Mononobe & Okabe

Il calcolo della spinta attiva con il metodo di *Mononobe & Okabe* riguarda la valutazione della spinta in condizioni sismiche con il metodo pseudo-statico. Esso è basato sullo studio dell'equilibrio limite globale del sistema formato dal muro e dal prisma di terreno omogeneo retrostante l'opera e coinvolto nella rottura in una configurazione fittizia di calcolo nella quale l'angolo ε , di inclinazione del piano campagna rispetto al piano orizzontale, e l'angolo β , di inclinazione della parete interna rispetto al piano orizzontale passante per il piede, vengono aumentati di una quantità θ tale che:

$$tg \theta = k_h/(1\pm k_V)$$

con k_h coefficiente sismico orizzontale e k_V verticale.

In assenza di studi specifici, i coefficienti k_h e k_v devono essere calcolati come:

$$k_h = S a_g/r$$
 $k_V = 0.5 k_h$

in cui Sa_g rappresenta il valore dell'accelerazione sismica massima del terreno per le varie categorie di profilo stratigrafico definite dall'Ordinanza P.C.M. n. 3274 del 20.03.2003. Al fattore r viene può essere assegnato il valore r = 2 nel caso di opere sufficientemente flessibili (muri liberi a gravità), mentre in tutti gli altri casi viene posto pari a 1 (muri in c.a. resistenti a flessione, muri in c.a. su pali o tirantati, muri di cantinato).

Effetto dovuto alla coesione

La coesione induce delle pressioni negative costanti pari a:

$$P_{c} = -2 \cdot c \cdot \sqrt{K_{a}}$$

Non essendo possibile stabilire a priori quale sia il decremento indotto nella spinta per effetto della coesione, è stata calcolata un'altezza critica Z_C come segue:

$$Z_{c} = \frac{2 \times c}{\gamma} \times \frac{1}{\sqrt{K_{A}}} - \frac{Q \times \frac{\text{sen}\beta}{\text{sen}(\beta + \epsilon)}}{\gamma}$$

dove

Q = Carico agente sul terrapieno;

Se Z_c <0 è possibile sovrapporre direttamente gli effetti, con decremento pari a:

$$S_C = P_C \times H$$

con punto di applicazione pari a H/2;

Carico uniforme sul terrapieno

Un carico Q, uniformemente distribuito sul piano campagna induce delle pressioni costanti pari a:

$$P_q = K_A \times Q \times sen\beta / sen(\beta + \epsilon)$$

Per integrazione, una spinta pari a Sq:

$$S_{q} = K_{a} \cdot Q \cdot H \frac{\operatorname{sen}\beta}{\operatorname{sen}(\beta + \varepsilon)}$$

Con punto di applicazione ad H/2, avendo indicato con Ka il coefficiente di spinta attiva secondo Muller-Breslau.

Spinta attiva in condizioni sismiche

In presenza di sisma la forza di calcolo esercitata dal terrapieno sul muro è data da:

$$E_d = \frac{1}{2} \gamma (1 \pm k_v) KH^2 + E_{ws} + E_{wd}$$

dove:

H altezza muro

k_v coefficiente sismico verticale

γ peso per unità di volume del terreno

K coefficienti di spinta attiva totale (statico + dinamico)

E_{WS} spinta idrostatica dell'acqua

E_{wd} spinta idrodinamica.

Per terreni impermeabili la spinta idrodinamica $E_{wd} = 0$, ma viene effettuata una correzione sulla valutazione dell'angolo θ della formula di Mononobe & Okabe così come di seguito:

$$tg\theta = \frac{\gamma_{sat}}{\gamma_{sat} - \gamma_{w}} \frac{k_{h}}{1 \mp k_{v}}$$

Nei terreni ad elevata permeabilità in condizioni dinamiche continua a valere la correzione di cui sopra, ma la spinta idrodinamica assume la seguente espressione:

$$E_{wd} = \frac{7}{12} k_h \gamma_w H'^2$$

Con H' altezza del livello di falda misurato a partire dalla base del muro.

Spinta idrostatica

La falda con superficie distante H_W dalla base del muro induce delle pressioni idrostatiche normali alla parete che, alla profondità z, sono espresse come segue:

$$P_{\mathbf{W}}(\mathbf{z}) = \gamma_{\mathbf{W}} \times \mathbf{z}$$

Con risultante pari a:

$$S_{\mathbf{w}} = 1/2 \times \gamma_{\mathbf{w}} \times H^2$$

La spinta del terreno immerso si ottiene sostituendo γ_t con γ'_t ($\gamma'_t = \gamma_{saturo} - \gamma_w$), peso efficace del materiale immerso in acqua.

Resistenza passiva

Per terreno omogeneo il diagramma delle pressioni risulta lineare del tipo:

$$P_t = K_p \times \gamma_t \times z$$

per integrazione si ottiene la spinta passiva:

$$S_{p} = \frac{1}{2} \cdot \gamma_{t} \cdot H^{2} \cdot K_{p}$$

Avendo indicato con:

$$K_p = \frac{\text{sen}^2(\phi + \beta)}{\text{sen}^2\beta \times \text{sen}(\beta - \delta) \times \left[1 - \sqrt{\frac{\sin(\delta + \phi) \times \sin(\phi + \epsilon)}{\text{sen}(\beta - \delta) \times \text{sen}(\beta - \epsilon)}}\right]^2}$$

(Muller-Breslau) con valori limiti di δ pari a:

$$\delta < \beta - \phi - \epsilon$$

L'espressione di K_p secondo la formulazione di Rankine assume la seguente forma:

$$Kp = \frac{\cos \varepsilon + \sqrt{\cos^2 \varepsilon - \cos^2 \phi}}{\cos \varepsilon - \sqrt{\cos^2 \varepsilon - \cos^2 \phi}}$$

CALCOLO DEI PALI DI FONDAZIONE

Convenzioni sui segni

- a) La forza verticale F_V, positiva se diretta verso il basso;
- b) La forza orizzontale F_x positiva da sinistra verso destra;
- c) La coppia M è positiva se produce spostamenti concordi con quelli della forza orizzontale F_x;

Analisi del palo in condizioni di esercizio: Modello di Winkler

Il modello di *Winkler* consente di tenere conto in modo semplice della variabilità delle proprietà meccaniche del terreno e delle stratificazioni.

In presenza di mezzo omogeneo (K costante) è stata adottata la classifica di Hetènyi che distingue tre possibili comportamenti del palo su mezzo alla Winkler, in funzione del valore che assume la rigidezza relativa (λ) terreno palo ossia: palo di tipo corto o rigido, palo relativamente flessibile, palo infinitamente flessibile.

Carico limite verticale

Il carico limite verticale è stato calcolato con le formule statiche, che esprimono il medesimo in funzione della geometria del palo e delle caratteristiche del terreno e dell'interfaccia palo-terreno.

Ai fini del calcolo, il carico limite Q_{lim} viene convenzionalmente suddiviso in due aliquote, la resistenza alla punta Q_p e la resistenza laterale Q_s .

Resistenza unitaria alla punta

La resistenza unitaria q_p alla punta, per il caso di terreno dotato di attrito (ϕ) e di coesione (c), è data dall'espressione:

$$q_p = c \times N_c + \gamma \times D \times N_q$$

Avendo indicato con:

- γ Peso unità di volume del terreno;
- D Lunghezza del palo;

 $N_c e N_q$ Fattori di capacità portante già comprensivi dell'effetto forma (circolare);

Il fattore N_q è stato calcolato secondo la teoria di Berezantzev .

Resistenza del fusto

Il contributo alla resistenza di fusto viene calcolato utilizzando una combinazione di sforzi totali ed efficaci. Sono previsti tre procedimenti di calcolo di uso corrente. Due dei quali di validità generale per la resistenza laterale di pali collocati in terreni coesivi. Questi metodi prendono il nome di α , β e λ dai coefficienti moltiplicativi usati nel termine della capacità portante laterale

Metodo utilizzato per il calcolo della capacità portante laterale metodo A, proposto da *Tomlinson* (1971); la resistenza laterale viene calcolata nel seguente modo:

$$f_s = A \times c + q \times K \times tg \delta$$

- c valore medio della coesione o della resistenza a taglio in condizioni non drenate.
- q pressione verticale del terreno
- k coefficiente di spinta orizzontale dipendente dalla tecnologia del palo e dal precedente stato di addensamento calcolato come segue:

Per pali infissi

$$K = 1 + tg^2\phi$$

Per pali trivellati

$$K = 1 - tg^2 \phi$$

δ attrito palo-terreno, funzione della scabrezza della superficie del palo.

Per pali infissi

$$\delta = 3/4 \times tg \ \phi$$

Per pali trivellati

$$\delta = tg \; \varphi$$

 α è un coefficiente ricavato come di seguito riportato:

Coefficiente a per palo infisso

c < 0.25	$\alpha = 1.00$
0.25 < c < 0.5	$\alpha = 0.85$
0.5 < c < 0.75	$\alpha = 0.65$
0.75 < c < 2.4	$\alpha = 0.50$
c >2.4	$\alpha = 1.2 / c$

Coefficiente a per palo trivellato

c < 0.25	$\alpha = 0.9$
0.25 < c < 0.5	$\alpha = 0.8$
0.5 < c < 0.75	$\alpha = 0.6$
0.75 < c < 2	$\alpha = 0.4$
c > 2	$\alpha = 0.8 / c$

Inoltre:

Secondo le indicazioni di Okamoto in presenza di effetti sismici la resistenza laterale viene ridotta in funzione del coefficiente sismico kh come segue:

$$C_{oeffrid} = 1 - k_h$$

Infine

- a) Per i pali trivellati sia le caratteristiche di resistenza (c, ϕ) sia il coefficiente del modulo orizzontale del terreno sono stati ridotti del 10%.
- b) In caso azioni di trazione il carico alla punta è nullo mentre quello laterale è stato ridotto al 70%
- c) Nel coefficiente di sicurezza verticale si è tenuto in debito conto anche del peso palo.

Cedimenti

Il cedimento verticale è stato calcolato con il metodo Davis-Poulos, secondo il quale il

palo viene considerato rigido (indeformabile) immerso in un mezzo elastico, semispazio o strato di spessore finito.

Si ipotizza che l'interazione palo terreno sia costante a tratti lungo n superfici cilindriche in cui viene suddivisa la superficie laterale del palo.

Il cedimento della generica superficie *i* per effetto del carico trasmesso dal palo al terreno lungo la superficie j esima può essere espresso:

$$W_{i,j} = (\tau_j / E) \times B \times I_{i,j}$$

Avendo indicato con:

τ_j Incremento di tensione relativo al punto medio della striscia;

E Modulo elastico del terreno;

B Diametro del palo;

 $I_{i.i}$ Coefficiente di influenza;

Il cedimento complessivo si ottiene sommando $W_{i,j}$ per tutte le j aree

Sollecitazioni muro

Per il calcolo delle sollecitazioni il muro è stato discretizzato in n-tratti in funzione delle sezioni significative e per ogni tratto sono state calcolate le spinte del terreno (valutate secondo un piano di rottura passante per il paramento lato monte), le risultanti delle forze orizzontali e verticali e le forze inerziali.

Calcolo delle spinte per le verifiche globali

Le spinte sono state valutate ipotizzando un piano di rottura passante per l'estradosso della mensola di fondazione lato monte, tale piano è stato discretizzato in *n-tratti*.

Convenzione segni

Forze verticali positive se dirette dall'alto vero il basso; positive se dirette da monte vero valle;

Coppie positive se antiorarie;
Angoli positivi se antiorari.

Dati generali

Calcolo di resistenza Stati limiti ultimi

Coefficienti sismici [N.T.C.]

Dati generali

Descrizione:

Latitudine: 38,08
Longitudine: 15,74
Tipo opera: 2 - Opere ordinarie
Classe d'uso: Classe II
Vita nominale: 50,0 [anni]
Vita di riferimento: 50,0 [anni]

Parametri sismici su sito di riferimento

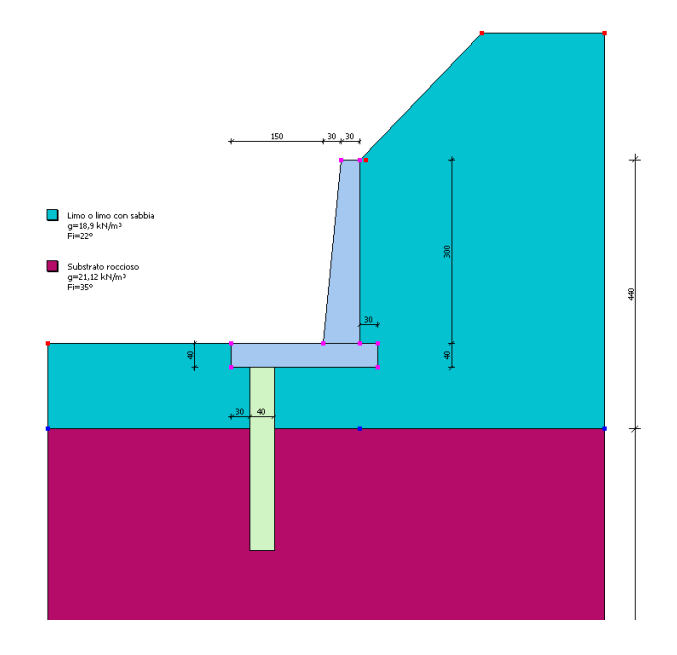
Categoria sottosuolo: B Categoria topografica: T2

S.L. Stato limite	TR Tempo ritorno [anni]	ag [m/s²]	F0 [-]	TC* [sec]
S.L.O.	30,0	0,66	2,3	0,27
S.L.D.	50,0	0,88	2,28	0,29
S.L.V.	475,0	2,64	2,41	0,36
S.L.C.	975,0	3,54	2,47	0,39

Coefficienti sismici orizzontali e verticali

Opera: Opere di sostegno

S.L.	amax	beta	kh	kv
Stato limite	[m/s ²]	[-]	[-]	[sec]
S.L.O.	0,9504	0,18	0,0174	0,0087
S.L.D.	1,2672	0,18	0,0233	0,0116
S.L.V.	3,613	0,31	0,1142	0,0571
S.L.C.	4,4321	0,31	0,1401	0,0701



Dati generali muro

Altezza muro	200.0 om
	300,0 cm
Spessore testa muro	30,0 cm
Risega muro lato valle	30,0 cm
Risega muro lato monte	0,0 cm
Sporgenza mensola a valle	150,0 cm
Sporgenza mensola a monte	30,0 cm
Svaso mensola a valle	0,0 cm
Svaso mensola a valle	0,0 cm
Altezza estremità mensola a valle	40,0 cm
Altezza estremità mensola a monte	40,0 cm
Sezione dei pali	40,0 cm
Lunghezza dei pali	300,0 cm
Distanza asse da estremità mensola	50,0 cm

Caratteristiche di resistenza dei materiali impiegati

Classe conglomerato Rck 265 Fattore parziale di sicurezza calcestru

Fattore parziale di sicurezza calcestruzzo	1,5
Resistenza a compressione di calcolo fcd	124,64 N/mm ²
Resistenza a trazione di calcolo fctd	5,07 N/mm ²

Acciaio Tipo B450C

Modulo elastico	210000 N/mm ²
Fattore parziale di sicurezza acciaio	1,15
fyk (Tensione caratteristica snervamento)	440 N/mm ²
fyd (Resistenza ultima di calcolo)	382,61 N/mm ²
Deformazione ultima di calcolo	0,01

Copriferro,	Elevazione	3,	0 cm
Copinicito,		Θ,	0 0111

Copriferro, Fondazione	3,0 cm
Copriferro, Dente di fondazione	3,0 cm

Stratigrafia

DH Passo minimo

Eps Inclinazione dello strato. Gamma Peso unità di volume Fi Angolo di resistenza a taglio

c Coesione

Delta Angolo di attrito terra muro P.F. Presenza di falda (Si/No)

Ns	DH	Eps	Gamma	Fi	c	Delta	P.F.	Litologia	Descrizione
	(cm)	(°)	(KN/m^3)	(°)	(kPa)	(°)			
1	440	0	18,90	22	0,00	15	No		Limo o limo con sabbia
2	3060	0	21,12	35	0,00	23	No		Substrato roccioso

FATTORI DI COMBINAZIONE

A1+M1+R1

Nr.	Azioni	Fattore combinazione
1	Peso muro	1,30
2	Spinta terreno	1,00
3	Peso terreno mensola	1,30
4	Spinta falda	1,00
5	Spinta sismica in x	1,00
6	Spinta sismica in y	1,00

Nr.	Parametro	Coefficienti parziali
1	Tangente angolo res. taglio	1
2	Coesione efficace	1
3	Resistenza non drenata	1
4	Peso unità volume	1

Nr.	Carico limite	Coefficienti resistenze
1	Punta	1
2	Laterale compressione	1
3	Coefficiente totale	1
4	Laterale (trazione)	1
5	Orizzontale	1
	Riduzione resistenza	Parziale

A2+M2+R2

Nr.	Azioni	Fattore combinazione
1	Peso muro	1,00
2	Spinta terreno	1,00
3	Peso terreno mensola	1,00
4	Spinta falda	1,00
5	Spinta sismica in x	1,00
6	Spinta sismica in y	0,00

Nr.	Parametro	Coefficienti parziali
1	Tangente angolo res. taglio	1,25
2	Coesione efficace	1,25
3	Resistenza non drenata	1,4
4	Peso unità volume	1

Nr.	Carico limite	Coefficienti resistenze
1	Punta	1,7
2	Laterale compressione	1,7
3	Coefficiente totale	1,7
4	Laterale (trazione)	1,7
5	Orizzontale	1,7
	Riduzione resistenza	Parziale

FQU+M2 (Ribaltamento)

LQUTIVIZ (MDAILAITICITIO)		
Nr.	Azioni	Fattore combinazione
1	Peso muro	0,90
2	Spinta terreno	1,10
3	Peso terreno mensola	1,00
4	Spinta falda	1,50
5	Spinta sismica in x	1,00
6	Spinta sismica in y	0,00

Nr.	Parametro	Coefficienti parziali
1	Tangente angolo res. taglio	1,25
2	Coesione efficace	1,25
3	Resistenza non drenata	1,4
4	Peso unità volume	1

Nr.	Carico limite	Coefficienti resistenze
1	Punta	1,7
2	Laterale compressione	1,7
3	Coefficiente totale	1,7
4	Laterale (trazione)	1,7
5	Orizzontale	1,7
	Riduzione resistenza	Parziale

A1+M1+R1

0,1142 Coefficiente sismico orizzontale Kh 0,0571 Coefficiente sismico verticale Kv

CALCOLO SPINTE

Discretizzazione terreno

Qi Quota iniziale strato (cm);

Qf Quota finale strato

Peso unità di volume (KN/m³); Gamma Inclinazione dello strato. (°); Eps Fi Angolo di resistenza a taglio (°);

Angolo attrito terra muro; Delta

С

Coesione (kPa); Angolo perpendicolare al paramento lato monte (°); ß Nelle note viene riportata la presenza della falda Note

Note

100,0 40,0 18,9 46,0 22,0 14,52 0,0 0,0

Coefficienti di spinta ed inclinazioni

µ Angolo di direzione della spinta.
 Ka Coefficiente di spinta attiva.
 Kd Coefficiente di spinta dinamica.
 Dk Coefficiente di incremento dinamico.

Kax, Kay Componenti secondo x e y del coefficiente di spinta attiva.

Dkx, Dky Componenti secondo x e y del coefficiente di incremento dinamico.

μ	Ka	Kd	Dk	Kax	Kay	Dkx	Dky	
14,52	0,87	1,02	0,2	0,84	0,22	0,19	0,05	
14,52	0,87	1,02	0,2	0,84	0,22	0,19	0,05	
14,52	0,87	1,02	0,2	0,84	0,22	0,19	0,05	
14,52	0,87	1,02	0,2	0,84	0,22	0,19	0,05	
14,52	0,87	1,02	0,2	0,84	0,22	0,19	0,05	

Spinte risultanti e punto di applicazione

Qi Quota inizio strato. Qf Quota inizio strato.

Rpx, Rpy Componenti della spinta nella zona j-esima (kN); Z(Rpx) Ordinata punto di applicazione risultante spinta (cm); Z(Rpy) Ordinata punto di applicazione risultante spinta (cm);

	Qi	Qf	Rpx	Rpy	z(Rpx)	z(Rpy)	
1	340,0	280,0	3,51	0,91	300,0	300,0	
2	280,0	220,0	10,54	2,73	246,67	246,67	
3	220,0	160,0	17,56	4,55	188,0	188,0	
4	160,0	100,0	24,58	6,37	128,57	128,57	
5	100,0	40,0	31,61	8,19	68,89	68,89	

CARATTERISTICHE MURO (Peso, Baricentro, Inerzia)

Py Peso del muro (kN); Px Forza inerziale (kN);

Xp, Yp Coordinate baricentro dei pesi (cm);

Quota	Px	Ру	Хр	Yp	
280,0	0,73	6,43	193,5	309,1	
220,0	1,6	14,04	191,8	276,7	
160,0	2,61	22,81	190,2	243,1	
100,0	3,74	32,76	188,4	208,6	
40,0	5,01	43,87	186,7	173,3	

Sollecitazioni sul muro

Quota Origine ordinata minima del muro (cm).

Fx Forza in direzione x (kN); Fy Forza in direzione y (kN);

M Momento (kNm);

H Altezza sezione di calcolo (cm);

Quot	a Fx	Fy	M	Н	
280,	0 4,25	7,34	0,66	36,0	
220,	15,65	17,68	5,4	42,0	
160,	34,21	31,0	18,34	48,0	
100,	59,93	47,31	43,7	54,0	
40,	92,8	66,61	85,53	60,0	

Armature - Verifiche sezioni (S.L.U.)

Atv	Area dei ferri lato valle.	
Afm	Area dei ferri lato monte.	
Nu	Sforzo normale ultimo (kN);	
Mu	Momento flettente ultimo (kNm);	
Vcd	Resistenza a taglio conglomerato Vcd (kN);	
\/wd	Resistanza a tardio nigrati (kNI):	

Resistenza a taglio piegati (kN); Misura Sicurezza Taglio (Vcd+Vwd)/Vsdu (Verificato se >=1). Sic. VT

Vsdu Taglio di calcolo (kN);

Afv	Afm	Nu	Mu	Ver.	Vcd	Vwd	Sic. VT	
4Ø12 (4,52)	7Ø12 (7,92)	7,32	100,77	S	542,88	0,0	127,87	_
4Ø12 (4,52)	8Ø12 (9,05)	17,67	137,32	S	641,29	0,0	40,98	
5Ø12 (5,65)	9Ø12 (10,18)	31,0	180,48	S	740,15	0,0	21,64	
5Ø12 (5,65)	10Ø12 (11,31)	47,4	230,24	S	839,45	0,0	14,01	
6Ø12 (6,79)	11Ø12 (12,44)	66,56	286,96	S	939,2	0,0	10,12	

Discretizzazione terreno

Qi	Quota iniziale strato (cm);
Qf	Quota finale strato
Gamma	Peso unità di volume (KN/m³);
Eps	Inclinazione dello strato. (°);
Fi	Angolo di resistenza a taglio (°);
Delta	Angolo attrito terra muro;
С	Coesione (kPa);

С Angolo perpendicolare al paramento lato monte (°); ß Note Nelle note viene riportata la presenza della falda

Qi Qf Gamma Fi Delta ß Eps С Note 371,1 340,0 18,9 46,0 22,0 22,0 0,0 0,0 340,0 280,0 18,9 46,0 22,0 22,0 0,0 0,0 280,0 220,0 18,9 46,0 22,0 22,0 0,0 0,0 18,9 22,0 22,0 220,0 160,0 46,0 0,0 0,0 160,0 100,0 18,9 46,0 22,0 22,0 0,0 0,0 100,0 40,0 18,9 46,0 22,0 22,0 0,0 0,0 40.0 0.0 18.9 46.0 22,0 14,52 0.0 0.0

Coefficienti di spinta ed inclinazioni

μ	Angolo di direzione della spinta.
Ka	Coefficiente di spinta attiva.
Kd	Coefficiente di spinta dinamica.
Dk	Coefficiente di incremento dinamico.

Kax, Kay Componenti secondo x e y del coefficiente di spinta attiva.

Dkx, Dky Componenti secondo x e y del coefficiente di incremento dinamico.

μ	Ka	Kd	Dk	Kax	Kay	Dkx	Dky	
22,0	0,91	1,08	0,22	0,84	0,34	0,21	0,08	
22,0	0,91	1,08	0,22	0,84	0,34	0,21	0,08	
22,0	0,91	1,08	0,22	0,84	0,34	0,21	0,08	
22,0	0,91	1,08	0,22	0,84	0,34	0,21	0,08	
22,0	0,91	1,08	0,22	0,84	0,34	0,21	0,08	
22,0	0,91	1,08	0,22	0,84	0,34	0,21	0,08	
14,52	0,87	1,02	0,2	0,84	0,22	0,19	0,05	

Spinte risultanti e punto di applicazione

Qi	Quota inizio strato.
Qf	Quota inizio strato.

Rpx, Rpy Componenti della spinta nella zona j-esima (kN); Z(Rpx) Ordinata punto di applicazione risultante spinta (cm); Z(Rpy) Ordinata punto di applicazione risultante spinta (cm);

	Qi	Qf	Rpx	Rpy	z(Rpx)	z(Rpy)	
1	371,1	340,0	0,96	0,39	350,37	350,37	
2	340,0	280,0	7,28	2,94	305,09	305,09	
3	280,0	220,0	14,44	5,83	247,52	247,52	
4	220,0	160,0	21,59	8,72	188,34	188,34	
5	160,0	100,0	28,74	11,61	128,76	128,76	
6	100,0	40,0	35,9	14,5	69,0	69,0	
7	40,0	0,0	27,88	11,04	19,63	19,76	

SPINTE IN FONDAZIONE

Discretizzazione terreno

Qi Quota iniziale strato (cm);

Qf Quota finale strato

Gamma Peso unità di volume (KN/m³); Eps Inclinazione dello strato. (°); Fi Angolo di resistenza a taglio (°); Delta Angolo attrito terra muro;

c Coesione (kPa);

ß Angolo perpendicolare al paramento lato monte (°); Note Nelle note viene riportata la presenza della falda

	Qi	Qf	Gamma	Eps	Fi	Delta	С	ß	Note
Ī	40,0	0,0	18,9	226,0	22,0	14,52	0,0	180,0	

Coefficienti di spinta ed inclinazioni

μ Angolo di direzione della spinta.Kp Coefficiente di resistenza passiva.

Kpx, Kpy Componenti secondo x e y del coefficiente di resistenza passiva.

μ	Kp	Крх	Кру
194,52	0,6	-0,58	-0,15

Spinte risultanti e punto di applicazione

Qi	Quota inizio strato.
Qf	Quota inizio strato.

Rpx, Rpy Componenti della spinta nella zona j-esima (kN); Z(Rpx) Ordinata punto di applicazione risultante spinta (cm); Z(Rpy) Ordinata punto di applicazione risultante spinta (cm);

	Qi	Qf	Rpx	Rpy	z(Rpx)	z(Rpy)	
1	40,0	0,0	-0,87	-0,23	13,33	13,33	

Sollecitazioni totali

Fx Forza in direzione x (kN); Fy Forza in direzione y (kN);

M Momento (kNm);

	Fx	Fy	M	
Spinta terreno	136,79	55,04	37,14	
Peso muro	5,01	43,87	-73,22	
Peso fondazione	3,56	31,2	-36,72	
Sovraccarico	0,0	0,0	0,0	
Terr. fondazione	1,94	22,11	-45,76	
Spinte fondazione	-0,87	-0,23	-0,12	
·	146,43	151,99	-118,68	

Momento stabilizzante -301,19 kNm Momento ribaltante 182,51 kNm

Verifica palo max sollecitato

Forza orizzontale	294,61 kN
Forza verticale	304,44 kN
Momento	-237,36 kNm

Dati palo

Lunghezza300,0 cmDiametro40,0 cmCopriferro3,0 cm

Palo trivellato

Stratigrafia palo

Strato N° 1

Spessore strato 100,0 cm
Peso unità di volume 18,9 KN/m³
Angolo di attrito 22,0 °
Coesione 0,0 kPa
Modulo di elasticità 9806,66 kPa
Modulo di reaz. orizzontale 137293,1 KN/m³

Strato N° 2

Spessore strato	200,0 cm
Peso unità di volume	21,12 KN/m ³
Angolo di attrito	35,0 °
Coesione	0,0 kPa
Modulo di elasticità	98066,55 kPa

Spostamenti e rotazioni in testa al palo

Lunghezza d'onda	170,25 cm
Cedimento del palo	0,09 cm
Spostamento in x	0,33 cm
Rotazione in testa	0,01 °

Pressione limite orizzontale in corrispondenza della lunghezza d'onda 203,58 kPa

Carico limite verticale

Carico limite di punta	398,44 kN	
Carico limite laterale	41,47 kN	
Carico limite totale	439,92 kN	
Coefficiente di sicurezza punta	1	
Coefficiente di sicurezza laterale	1	
Resistenza di calcolo	439,92 kN	
Fattore di sicurezza Fs	1,4	

Verifica palo in testa

-189,89 kNm
304,44 kN
36,19 cm ²
304,34 kN
-193,7 kNm
Verificata
64,66 kN
229,95 kN
9999,0

Verifica palo alla profondità di cm 213,00

Momento	11,23 kNm
Sforzo normale	311,0 kN
Area ferri	36,19 cm ²
Sforzo normale ultimo (Nu)	311,07 kN
Momento flettente ultimo (Mu)	193,92 kNm
Stato verifica a flessione	Verificata
Resistenza a taglio congl. (Vcd)	65,27 kN
Resistenza a taglio staffe (Vwd)	104,24 kN
Misura Sicurezza Taglio	1,74

Verifiche palo alla profondità di cm 340,49

Momento	48,59 kNm
Sforzo normale	314,91 kN
Area ferri	36,19 cm ²
Sforzo normale ultimo (Nu)	314,91 kN
Momento flettente ultimo (Mu)	194,05 kNm
Stato verifica a flessione	Verificata
Resistenza a taglio congl. (Vcd)	65,64 kN
Resistenza a taglio staffe (Vwd)	104,24 kN
Misura Sicurezza Taglio	1,0

MENSOLA A VALLE

Xprogr. Ascissa progressiva (cm);
Fx Forza in direzione x (kN);
Fy Forza in direzione y (kN);
M Momento (kNm);
H Altezza sezione (cm);

Xprogr. Fx Fy M H

150,0 -148,18 -132,95 10,26 40,0

Armature - Verifiche sezioni (S.L.U.)

Afi Area dei ferri inferiori.

Afs Area dei ferri superiori.

Nu Sforzo normale ultimo (kN);

Mu Momento flettente ultimo (kNm);

Vcd Resistenza a taglio conglomerato Vcd (kN);

Vwd Resistenza a taglio piegati (kN);

Sic. VT Misura Sicurezza Taglio (Vcd+Vwd)/Vsdu (Verificato se >=1).

Vsdu Taglio di calcolo (kN);

Afi	Afs	Nu	Mu	Ver.	Vcd	Vwd	Sic. VT	
8Ø12 (9,05)	8Ø12 (9,05)	148,21	155,57	S	628,98	0,0	4,73	

MENSOLA A MONTE

Xprogr. Ascissa progressiva (cm);
Fx Forza in direzione x (kN);
Fy Forza in direzione y (kN);
M Momento (kNm);
H Altezza sezione (cm);

Xprogr. Fx Fy M H

210,0 27,88 75,95 -19,75 40,0

Armature - Verifiche sezioni (S.L.U.)

Afi Area dei ferri inferiori.
Afs Area dei ferri superiori.
Nu Sforzo normale ultimo (kN);

Mu Momento flettente ultimo (kNm);

Vcd Resistenza a taglio conglomerato Vcd (kN);

Vwd Resistenza a taglio piegati (kN);

Sic. VT Misura Sicurezza Taglio (Vcd+Vwd)/Vsdu (Verificato se >=1).

Vsdu Taglio di calcolo (kN);

Afi	Afs	Nu	Mu	Ver.	Vcd	Vwd	Sic. VT	
4Ø12 (4,52)	8Ø12 (9,05)	-27,96	121,67	S	604,56	0,0	7,96	

A2+M2+R2

Coefficiente sismico orizzontale Kh 0,1142 Coefficiente sismico verticale Kv 0,0571

CALCOLO SPINTE

Discretizzazione terreno

Qi Quota iniziale strato (cm);

Qf Quota finale strato

Gamma Peso unità di volume (KN/m³); Eps Inclinazione dello strato. (°); Fi Angolo di resistenza a taglio (°);

Delta Angolo attrito terra muro;

c Coesione (kPa);

ß Angolo perpendicolare al paramento lato monte (°); Note Nelle note viene riportata la presenza della falda

Qi	Qf	Gamma	Eps	Fi	Delta	С	ß	Note
340,0	280,0	18,9	46,0	17,91	14,52	0,0	0,0	
280,0	220,0	18,9	46,0	17,91	14,52	0,0	0,0	
220,0	160,0	18,9	46,0	17,91	14,52	0,0	0,0	
160,0	100,0	18,9	46,0	17,91	14,52	0,0	0,0	
100,0	40,0	18,9	46,0	17,91	14,52	0,0	0,0	

Coefficienti di spinta ed inclinazioni

µ Angolo di direzione della spinta.
 Ka Coefficiente di spinta attiva.
 Kd Coefficiente di spinta dinamica.
 Dk Coefficiente di incremento dinamico.

Kax, Kay Componenti secondo x e y del coefficiente di spinta attiva.

Dkx, Dky Componenti secondo x e y del coefficiente di incremento dinamico.

μ	Ka	Kd	Dk	Kax	Kay	Dkx	Dky	
14,52	0,92	1,05	0,19	0,89	0,23	0,18	0,05	
14,52	0,92	1,05	0,19	0,89	0,23	0,18	0,05	
14,52	0,92	1,05	0,19	0,89	0,23	0,18	0,05	
14,52	0,92	1,05	0,19	0,89	0,23	0,18	0,05	
14,52	0,92	1,05	0,19	0,89	0,23	0,18	0,05	

Spinte risultanti e punto di applicazione

Qi Quota inizio strato.

Qf Quota inizio strato.

Rpx, Rpy Componenti della spinta nella zona j-esima (kN); Z(Rpx) Ordinata punto di applicazione risultante spinta (cm); Z(Rpy) Ordinata punto di applicazione risultante spinta (cm);

	Qi	Qf	Rpx	Rpy	z(Rpx)	z(Rpy)	
1	340,0	280,0	3,63	0,78	300,0	300,0	
2	280,0	220,0	10,89	2,35	246,67	246,67	
3	220,0	160,0	18,15	3,91	188,0	188,0	
4	160,0	100,0	25,41	5,47	128,57	128,57	
5	100,0	40,0	32,67	7,04	68,89	68,89	

CARATTERISTICHE MURO (Peso, Baricentro, Inerzia)

Py Peso del muro (kN);

Px Forza inerziale (kN);

Xp, Yp Coordinate baricentro dei pesi (cm);

Quota	Px	Ру	Хр	Yp	
280,0	0,57	4,95	193,5	309,1	
220,0	1,23	10,8	191,8	276,7	
160,0	2,0	17,55	190,2	243,1	
100,0	2,88	25,2	188,4	208,6	
40,0	3,85	33,75	186,7	173,3	

Sollecitazioni sul muro

Quota	Origine of	rdinata	minima de	el muro	(cm).	
-------	------------	---------	-----------	---------	-------	--

Fx Forza in direzione x (kN); Fy Forza in direzione y (kN);

Fy Forza in direzione M Momento (kNm);

H Altezza sezione di calcolo (cm);

Quota	Fx	Fy	M	Н		
280,0	4,2	5,73	0,68	36,0		
220,0	15,75	13,93	5,57	42,0		
160,0	34,67	24,59	18,96	48,0		
100,0	60,96	37,71	45,18	54,0		
40,0	94,6	53,3	88,46	60,0		

Armature - Verifiche sezioni (S.L.U.)

Afm	Area dei ferri	lato monte.
ATV	Area dei ferri	iato valle.

Nu Sforzo normale ultimo (kN); Mu Momento flettente ultimo (kNm);

Vcd Resistenza a taglio conglomerato Vcd (kN);

Vwd Resistenza a taglio piegati (kN);

Sic. VT Misura Sicurezza Taglio (Vcd+Vwd)/Vsdu (Verificato se >=1).

Vsdu Taglio di calcolo (kN);

Afv	Afm	Nu	Mu	Ver.	Vcd	Vwd	Sic. VT	
4Ø12 (4,52)	7Ø12 (7,92)	5,83	100,51	S	542,66	0,0	129,38	

4Ø12 (4,52)	8Ø12 (9,05)	13,84	136,55	S	640,77	0,0	40,68
5Ø12 (5,65)	9Ø12 (10,18)	24,59	179,01	S	739,25	0,0	21,32
5Ø12 (5,65)	10Ø12 (11,31)	37,75	227,76	S	838,09	0,0	13,75
6Ø12 (6,79)	11Ø12 (12,44)	53,28	283,16	S	937,3	0,0	9,91

Discretizzazione terreno

Qi Quota iniziale strato (cm);

Qf Quota finale strato

Gamma Peso unità di volume (KN/m³); Eps Inclinazione dello strato. (°); Fi Angolo di resistenza a taglio (°); Delta Angolo attrito terra muro;

c Coesione (kPa);

ß Angolo perpendicolare al paramento lato monte (°); Note Nelle note viene riportata la presenza della falda

	Qi	Qf	Gamma	Eps	Fi	Delta	С	ß	Note
•	371,1	340,0	18,9	46,0	17,91	17,91	0,0	0,0	
	340,0	280,0	18,9	46,0	17,91	17,91	0,0	0,0	
	280,0	220,0	18,9	46,0	17,91	17,91	0,0	0,0	
	220,0	160,0	18,9	46,0	17,91	17,91	0,0	0,0	
	160,0	100,0	18,9	46,0	17,91	17,91	0,0	0,0	
	100,0	40,0	18,9	46,0	17,91	17,91	0,0	0,0	
	40,0	0,0	18,9	46,0	17,91	14,52	0,0	0,0	

Coefficienti di spinta ed inclinazioni

µ Angolo di direzione della spinta.
 Ka Coefficiente di spinta attiva.
 Kd Coefficiente di spinta dinamica.
 Dk Coefficiente di incremento dinamico.

Kax, Kay Componenti secondo x e y del coefficiente di spinta attiva.

Dkx, Dky Componenti secondo x e y del coefficiente di incremento dinamico.

μ	Ka	Kd	Dk	Kax	Kay	Dkx	Dky	
17,91	0,93	1,08	0,2	0,89	0,29	0,19	0,06	
17,91	0,93	1,08	0,2	0,89	0,29	0,19	0,06	
17,91	0,93	1,08	0,2	0,89	0,29	0,19	0,06	
17,91	0,93	1,08	0,2	0,89	0,29	0,19	0,06	
17,91	0,93	1,08	0,2	0,89	0,29	0,19	0,06	
17,91	0,93	1,08	0,2	0,89	0,29	0,19	0,06	
14,52	0,92	1,05	0,19	0,89	0,23	0,18	0,05	

Spinte risultanti e punto di applicazione

Qi Quota inizio strato. Qf Quota inizio strato.

Rpx, Rpy Componenti della spinta nella zona j-esima (kN); Z(Rpx) Ordinata punto di applicazione risultante spinta (cm); Z(Rpy) Ordinata punto di applicazione risultante spinta (cm);

	Qi	Qf	Rpx	Rpy	z(Rpx)	z(Rpy)	
1	371,1	340,0	0,98	0,26	350,37	350,37	

2	340,0	280,0	7,45	1,99	305,09	305,09
3	280,0	220,0	14,77	3,94	247,52	247,52
4	220,0	160,0	22,09	5,89	188,34	188,34
5	160,0	100,0	29,41	7,84	128,76	128,76
6	100,0	40,0	36,73	9,8	69,0	69,0
7	40.0	0.0	28.54	7.53	19.62	19.69

SPINTE IN FONDAZIONE

Discretizzazione terreno

Qi Quota iniziale strato (cm);

Qf Quota finale strato

Gamma Peso unità di volume (KN/m³); Inclinazione dello strato. (°); Eps Angolo di resistenza a taglio (°); Fi Delta Angolo attrito terra muro;

Coesione (kPa):

Angolo perpendicolare al paramento lato monte (°); Nelle note viene riportata la presenza della falda Note

Qi	Qf	Gamma	Eps	Fi	Delta	С	ß	Note
40,0	0,0	18,9	226,0	17,91	14,52	0,0	180,0	

Coefficienti di spinta ed inclinazioni

Angolo di direzione della spinta. Kp Coefficiente di resistenza passiva.

Kpx, Kpy Componenti secondo x e y del coefficiente di resistenza passiva.

μ Κp Kpx Kpy 194,52 0,51 -0,49 -0,13

Spinte risultanti e punto di applicazione

Qi Quota inizio strato. Qf

Quota inizio strato.

Rpx, Rpy Componenti della spinta nella zona j-esima (kN); Ordinata punto di applicazione risultante spinta (cm); Z(Rpx)Ordinata punto di applicazione risultante spinta (cm); Z(Rpy)

	Qi	Qf	Rpx	Rpy	z(Rpx)	z(Rpy)	
1	40,0	0,0	-0,74	-0,19	13,33	13,33	

Sollecitazioni totali

Fx Forza in direzione x (kN); Forza in direzione y (kN); Fy

M Momento (kNm);

	Fx	Fy	M	
Spinta terreno	139,97	37,25	83,76	
Peso muro	3,85	33,75	-56,33	
Peso fondazione	2,74	24,0	-28,25	

Sovraccarico Terr. fondazione Spinte fondazione	0,0 1,94 -0,74 147,76	0,0 17,01 -0,19 111,81	0,0 -34,28 -0,1 -35,19
Momento stabilizzante Momento ribaltante	-219,47 184,28	kNm kNm	
Verifica palo max sollecit	ato		
Forza orizzoni	tale	297,01 kN	
Forza verticale	е	224,0 kN	
Momento		-70,39 kNm	
Dati palo			
Lunghezza		300,0 cm	
Diametro		40,0 cm	

3,0 cm

Stratigrafia palo

Copriferro

Palo trivellato

Strato N° 1

Spessore strato	100,0 cm
Peso unità di volume	18,9 KN/m ³
Angolo di attrito	22,0 °
Coesione	0,0 kPa
Modulo di elasticità	9806,66 kPa
Modulo di reaz. orizzontale	137293,1 KN/m ³

Strato N° 2

Spessore strato	200,0 cm
Peso unità di volume	21,12 KN/m ³
Angolo di attrito	35,0 °
Coesione	0,0 kPa
Modulo di elasticità	98066,55 kPa

Spostamenti e rotazioni in testa al palo

Lunghezza d'onda	170,25 cm
Cedimento del palo	0,06 cm
Spostamento in x	0,55 cm
Rotazione in testa	0,15°

Pressione limite orizzontale in corrispondenza della lunghezza d'onda 203,58 kPa

Carico limite verticale

Carico limite di punta	398,44 kN
Carico limite laterale	41,47 kN
Carico limite totale	258,77 kN

Coefficiente di sicurezza punta 1,7 Coefficiente di sicurezza laterale 1,7

Resistenza di calcolo 258,77 kN Fattore di sicurezza Fs 1,11

Verifica palo in testa

Momento -56,31 kNm Sforzo normale 224,0 kN 36,19 cm² Area ferri Sforzo normale ultimo (Nu) 224,02 kN Momento flettente ultimo (Mu) -191,0 kNm Verificata Stato verifica a flessione Resistenza a taglio congl. (Vcd) 57,18 kN Resistenza a taglio staffe (Vwd) 239,83 kN Misura Sicurezza Taglio 9999.0

Verifica palo alla profondità di cm 213,00

Momento 121,11 kNm Sforzo normale 230,57 kN Area ferri 36,19 cm² Sforzo normale ultimo (Nu) 230,6 kN Momento flettente ultimo (Mu) 191,22 kNm Stato verifica a flessione Verificata Resistenza a taglio congl. (Vcd) 57.79 kN Resistenza a taglio staffe (Vwd) 104,24 kN Misura Sicurezza Taglio 5,6

Verifiche palo alla profondità di cm 340,49

Momento 60,81 kNm Sforzo normale 234,48 kN Area ferri 36.19 cm² Sforzo normale ultimo (Nu) 234,55 kN Momento flettente ultimo (Mu) 191.36 kNm Stato verifica a flessione Verificata Resistenza a taglio congl. (Vcd) 58,15 kN Resistenza a taglio staffe (Vwd) 104,24 kN Misura Sicurezza Taglio 1,0

MENSOLA A VALLE

Xprogr. Ascissa progressiva (cm);
Fx Forza in direzione x (kN);
Fy Forza in direzione y (kN);
M Momento (kNm);
H Altezza sezione (cm);

Xprogr. Fx Fy M H

150,0 -149,25 -97,2 -36,1 40,0

Armature - Verifiche sezioni (S.L.U.)

Afi Area dei ferri inferiori.
Afs Area dei ferri superiori.
Nu Sforzo normale ultimo (kN);
Mu Momento flettente ultimo (kNm);

Vcd Resistenza a taglio conglomerato Vcd (kN);

Vwd Resistenza a taglio piegati (kN);

Sic. VT Misura Sicurezza Taglio (Vcd+Vwd)/Vsdu (Verificato se >=1).

Vsdu Taglio di calcolo (kN);

Afi	Afs	Nu	Mu	Ver.	Vcd	Vwd	Sic. VT	
8Ø12 (9,05)	8Ø12 (9,05)	149,21	155,76	S	629,13	0,0	6,47	

MENSOLA A MONTE

Xprogr. Ascissa progressiva (cm);
Fx Forza in direzione x (kN);
Fy Forza in direzione y (kN);
M Momento (kNm);
H Altezza sezione (cm);

Xprogr. Fx Fy M H
210,0 28,54 57,26 -14,28 40,0

Armature - Verifiche sezioni (S.L.U.)

Afi Area dei ferri inferiori.
Afs Area dei ferri superiori.
Nu Sforzo normale ultimo (kN);
Mu Momento flettente ultimo (kNm);

Vcd Resistenza a taglio conglomerato Vcd (kN);

Vwd Resistenza a taglio piegati (kN);

Sic. VT Misura Sicurezza Taglio (Vcd+Vwd)/Vsdu (Verificato se >=1).

Vsdu Taglio di calcolo (kN);

Afi Afs Nu Mu Ver. Vcd Vwd Sic. VT 4Ø12 (4,52) 8Ø12 (9,05) -28,56 121,55 S 604,46 0,0 10,56

EQU+M2 (Ribaltamento)

Coefficiente sismico orizzontale Kh 0,1142 Coefficiente sismico verticale Kv 0.0571

CALCOLO SPINTE

Discretizzazione terreno

Qi Quota iniziale strato (cm);

Qf Quota finale strato

Gamma Peso unità di volume (KN/m³);

Eps Inclinazione dello strato. (°); Fi Angolo di resistenza a taglio (°);

Delta Angolo attrito terra muro;

c Coesione (kPa);

ß Angolo perpendicolare al paramento lato monte (°); Note Nelle note viene riportata la presenza della falda

Qi	Qf	Gamma	Eps	Fi	Delta	С	ß	Note
340,0	280,0	18,9	46,0	17,91	14,52	0,0	0,0	
280,0	220,0	18,9	46,0	17,91	14,52	0,0	0,0	
220,0	160,0	18,9	46,0	17,91	14,52	0,0	0,0	
160,0	100,0	18,9	46,0	17,91	14,52	0,0	0,0	
100,0	40,0	18,9	46,0	17,91	14,52	0,0	0,0	

Coefficienti di spinta ed inclinazioni

μ Angolo di direzione della spinta.

Ka Coefficiente di spinta attiva.Kd Coefficiente di spinta dinamica.

Dk Coefficiente di incremento dinamico.

Kax, Kay Componenti secondo x e y del coefficiente di spinta attiva.

Dkx, Dky Componenti secondo x e y del coefficiente di incremento dinamico.

μ	Ka	Kd	Dk	Kax	Kay	Dkx	Dky	
14,52	0,92	1,05	0,19	0,89	0,23	0,18	0,05	
14,52	0,92	1,05	0,19	0,89	0,23	0,18	0,05	
14,52	0,92	1,05	0,19	0,89	0,23	0,18	0,05	
14,52	0,92	1,05	0,19	0,89	0,23	0,18	0,05	
14,52	0,92	1,05	0,19	0,89	0,23	0,18	0,05	

Spinte risultanti e punto di applicazione

Qi Quota inizio strato. Qf Quota inizio strato.

Rpx, Rpy Componenti della spinta nella zona j-esima (kN); Z(Rpx) Ordinata punto di applicazione risultante spinta (cm); Z(Rpy) Ordinata punto di applicazione risultante spinta (cm);

	Qi	Qf	Rpx	Rpy	z(Rpx)	z(Rpy)	
1	340,0	280,0	3,93	0,86	300,0	300,0	
2	280,0	220,0	11,8	2,58	246,67	246,67	
3	220,0	160,0	19,66	4,3	188,0	188,0	
4	160,0	100,0	27,52	6,02	128,57	128,57	
5	100,0	40,0	35,39	7,74	68,89	68,89	

CARATTERISTICHE MURO (Peso, Baricentro, Inerzia)

Py Peso del muro (kN);

Px Forza inerziale (kN);

Xp, Yp Coordinate baricentro dei pesi (cm);

Quota	Px	Ру	Хр	Yp	
280,0	0,51	4,45	193,5	309,1	

220,0	1,11	9,72	191,8	276,7
160,0	1,8	15,79	190,2	243,1
100,0	2,59	22,68	188,4	208,6
40.0	3.47	30.37	186.7	173.3

Sollecitazioni sul muro

Quota	Origine ordinata minima del muro (cm).

Fx Forza in direzione x (kN); Fy Forza in direzione y (kN);

M Momento (kNm);

H Altezza sezione di calcolo (cm);

 Quota	Fx	Fy	M	Н	
280,0	4,44	5,31	0,71	36,0	
220,0	16,84	13,16	5,95	42,0	
160,0	37,19	23,54	20,34	48,0	
100,0	65,5	36,44	48,56	54,0	
40,0	101,76	51,88	95,21	60,0	

Armature - Verifiche sezioni (S.L.U.)

Afv	Area dei ferri lato valle.
Afm	Area dei ferri lato monte.
Nu	Sforzo normale ultimo (kN);
Mu	Momento flettente ultimo (kNm)

Vcd Resistenza a taglio conglomerato Vcd (kN);

Vwd Resistenza a taglio piegati (kN);

Sic. VT Misura Sicurezza Taglio (Vcd+Vwd)/Vsdu (Verificato se >=1).

Vsdu Taglio di calcolo (kN);

Afv	Afm	Nu	Mu	Ver.	Vcd	Vwd	Sic. VT
4Ø12 (4,52)	7Ø12 (7,92)	5,23	100,41	S	542,6	0,0	122,22
4Ø12 (4,52)	8Ø12 (9,05)	13,15	136,42	S	640,67	0,0	38,06
5Ø12 (5,65)	9Ø12 (10,18)	23,59	178,78	S	739,1	0,0	19,88
5Ø12 (5,65)	10Ø12 (11,31)	36,4	227,41	S	837,91	0,0	12,79
6Ø12 (6,79)	11Ø12 (12,44)	51,9	282,76	S	937,1	0,0	9,21

Discretizzazione terreno

Qi Quota iniziale strato (cm);

Qf Quota finale strato

Gamma Peso unità di volume (KN/m³); Eps Inclinazione dello strato. (°); Fi Angolo di resistenza a taglio (°);

Delta Angolo attrito terra muro;

c Coesione (kPa);

ß Angolo perpendicolare al paramento lato monte (°); Note Nelle note viene riportata la presenza della falda

	Qi	Qf	Gamma	Eps	Fi	Delta	С	ß	Note
_	371,1	340,0	18,9	46,0	17,91	17,91	0,0	0,0	
	340,0	280,0	18,9	46,0	17,91	17,91	0,0	0,0	
	280,0	220,0	18,9	46,0	17,91	17,91	0,0	0,0	

000.0	400.0	40.0	40.0	47.04	47.04	0.0	0.0
220,0	160,0	18,9	46,0	17,91	17,91	0,0	0,0
160,0	100,0	18,9	46,0	17,91	17,91	0,0	0,0
100,0	40,0	18,9	46,0	17,91	17,91	0,0	0,0
40.0	0.0	18.9	46.0	17.91	14 52	0.0	0.0

Coefficienti di spinta ed inclinazioni

µ Angolo di direzione della spinta.
 Ka Coefficiente di spinta attiva.
 Kd Coefficiente di spinta dinamica.
 Dk Coefficiente di incremento dinamico.

Kax, Kay Componenti secondo x e y del coefficiente di spinta attiva.

Dkx, Dky Componenti secondo x e y del coefficiente di incremento dinamico.

μ	Ka	Kd	Dk	Kax	Kay	Dkx	Dky	
17,91	0,93	1,08	0,2	0,89	0,29	0,19	0,06	
17,91	0,93	1,08	0,2	0,89	0,29	0,19	0,06	
17,91	0,93	1,08	0,2	0,89	0,29	0,19	0,06	
17,91	0,93	1,08	0,2	0,89	0,29	0,19	0,06	
17,91	0,93	1,08	0,2	0,89	0,29	0,19	0,06	
17,91	0,93	1,08	0,2	0,89	0,29	0,19	0,06	
14,52	0,92	1,05	0,19	0,89	0,23	0,18	0,05	

Spinte risultanti e punto di applicazione

Qi Quota inizio strato. Qf Quota inizio strato.

Rpx, Rpy Componenti della spinta nella zona j-esima (kN); Z(Rpx) Ordinata punto di applicazione risultante spinta (cm); Z(Rpy) Ordinata punto di applicazione risultante spinta (cm);

	Qi	Qf	Rpx	Rpy	z(Rpx)	z(Rpy)	
1	371,1	340,0	1,06	0,29	350,37	350,37	
2	340,0	280,0	8,07	2,19	305,09	305,09	
3	280,0	220,0	15,99	4,33	247,52	247,52	
4	220,0	160,0	23,91	6,48	188,34	188,34	
5	160,0	100,0	31,83	8,63	128,76	128,76	
6	100,0	40,0	39,76	10,78	69,0	69,0	
7	40,0	0,0	30,89	8,28	19,62	19,69	

SPINTE IN FONDAZIONE

Discretizzazione terreno

Qi Quota iniziale strato (cm);

Qf Quota finale strato

Gamma Peso unità di volume (KN/m³); Eps Inclinazione dello strato. (°); Fi Angolo di resistenza a taglio (°); Delta Angolo attrito terra muro;

c Coesione (kPa);

ß Angolo perpendicolare al paramento lato monte (°); Note Nelle note viene riportata la presenza della falda

Qi Qf Gamma Eps Fi Delta c ß Note

40,0	0,	0 18,9	226,0	0 17,9	14,5	2 0,0	180,0		
Coeffici	Coefficienti di spinta ed inclinazioni								
	μ Κρ Κρх, Κρу	Angolo di direz Coefficiente di Componenti se	resistenza	oassiva.	ente di resiste	enza passiva.			
μ	Кр	Крх	Кру						
194,52	0,51	-0,49	-0,13						
Spinte r	risultanti e	punto di applio	azione						
	Qi Qf Rpx, Rpy Z(Rpx) Z(Rpy)	Quota inizio sti Quota inizio sti Componenti de Ordinata punto Ordinata punto	ato. ella spinta n di applicaz	ione risultan	te spinta (cm)				
	Qi	Qf	Rpx	Rpy	z(Rpx)	z(Rpy)			
1	40,0	0,0	-0,74	-0,19	13,33	13,33			
Sollecit	azioni total	li							
	Fx Fy M	Forza in direzio Forza in direzio Momento (kNn	one y (kN);						
			Fx		Fy		М		
Spinta terreno Peso muro Peso fondazione Sovraccarico Terr. fondazione Spinte fondazione			1,52 3,47 2,47 0,0 1,94 0,74 8,65		40,97 30,37 21,6 0,0 17,01 -0,19 109,76		89,11 -50,69 -25,42 0,0 -34,28 -0,1 -21,39	_	
	o stabilizza o ribaltante		9,23 7,84	kNm kNm					
Verifica	Verifica palo max sollecitato								
Forza orizzontale Forza verticale Momento				219,9	79 kN 91 kN 77 kNm				
Dati pal	0								
Lunghezza Diametro Copriferro				40	,0 cm ,0 cm ,0 cm				

Palo trivellato

Stratigrafia palo

Strato N° 1

Spessore strato	100,0 cm
Peso unità di volume	18,9 KN/m ³
Angolo di attrito	22,0 °
Coesione	0,0 kPa
Modulo di elasticità	9806,66 kPa
Modulo di reaz, orizzontale	137293.1 KN/m ³

Strato N° 2

Spessore strato	200,0 cm
Peso unità di volume	21,12 KN/m ³
Angolo di attrito	35,0 °
Coesione	0,0 kPa
Modulo di elasticità	98066,55 kPa

Spostamenti e rotazioni in testa al palo

Lunghezza d'onda	170,25 cm
Cedimento del palo	0,06 cm
Spostamento in x	0,63 cm
Rotazione in testa	0.19°

Pressione limite orizzontale in corrispondenza della lunghezza d'onda 203,58 kPa

Carico limite verticale

Carico limite di punta Carico limite laterale Carico limite totale	398,44 kN 41,47 kN 258,77 kN	
Coefficiente di sicurezza punta Coefficiente di sicurezza laterale	1,7 1,7	
Resistenza di calcolo Fattore di sicurezza Fs	258,77 kN 1,13	

Verifica palo in testa

Momento	-34,22 kNm
Sforzo normale	219,91 kN
Area ferri	36,19 cm ²
Sforzo normale ultimo (Nu)	219,9 kN
Momento flettente ultimo (Mu)	-190,85 kNm
Stato verifica a flessione	Verificata
Resistenza a taglio congl. (Vcd)	56,8 kN
Resistenza a taglio staffe (Vwd)	262,0 kN
Misura Sicurezza Taglio	9999,0

Verifica palo alla profondità di cm 213,00

Momento	151,3 kNm
Sforzo normale	226,47 kN
Area ferri	36,19 cm ²
Sforzo normale ultimo (Nu)	226,48 kN
Momento flettente ultimo (Mu)	191,08 kNm
Stato verifica a flessione	Verificata
Resistenza a taglio congl. (Vcd)	57,41 kN
Resistenza a taglio staffe (Vwd)	104,24 kN
Misura Sicurezza Taglio	9,2

Verifiche palo alla profondità di cm 340,49

Momento	67,56 kNm
Sforzo normale	230,38 kN
Area ferri	36,19 cm ²
Sforzo normale ultimo (Nu)	230,35 kN
Momento flettente ultimo (Mu)	191,21 kNm
Stato verifica a flessione	Verificata
Resistenza a taglio congl. (Vcd)	57,77 kN
Resistenza a taglio staffe (Vwd)	104,24 kN
Misura Sicurezza Taglio	1,0

MENSOLA A VALLE

Xprogr. Fx Fy M H	Forza in Forza in Moment	progressiva (direzione x (l direzione y (l o (kNm); sezione (cm);	(N); (N);			
Xprogr.	Fx	Fy	М	Н		
150,0	-160,14	-96,65	-46,8	40,0		

Armature - Verifiche sezioni (S.L.U.)

Afi	Area dei ferri inferiori.
Afs	Area dei ferri superiori.
Nu	Sforzo normale ultimo (kN);
Mu	Momento flettente ultimo (kNm);
Vcd	Resistenza a taglio conglomerato Vcd (kN);
Vwd	Resistenza a taglio piegati (kN);
Sic. VT	Misura Sicurezza Taglio (Vcd+Vwd)/Vsdu (Verificato se >=1)

l).

Taglio di calcolo (kN); Vsdu

Afi	Afs	Nu	Mu	Ver.	Vcd	Vwd	Sic. VT	
8Ø12 (9,05)	8Ø12 (9,05)	160,17	157,82	S	630,64	0,0	6,53	

MENSOLA A MONTE

Ascissa progressiva (cm); Forza in direzione x (kN); Xprogr. Fx

Fy M H	Momento (kNm);						
Xprogr.	Fx	Fy	M	Н			
210,0	30,89	60,68	-15,37	40,0			

Armature - Verifiche sezioni (S.L.U.)

Afi Area dei ferri inferiori. Afs Area dei ferri superiori. Nu Sforzo normale ultimo (kN); Mu Momento flettente ultimo (kNm);

Resistenza a taglio conglomerato Vcd (kN); Vcd

Resistenza a taglio piegati (kN); Vwd

Misura Sicurezza Taglio (Vcd+Vwd)/Vsdu (Verificato se >=1). Taglio di calcolo (kN); Sic. VT

Vsdu

Afi	Afs	Nu	Mu	Ver.	Vcd	Vwd	Sic. VT	
4Ø12 (4,52)	8Ø12 (9,05)	-30,95	121,1	S	604,14	0,0	9,96	